

6  
A-29

АКАДЕМИЯ НАУК КИРГИЗСКОЙ ССР

ИНСТИТУТ ФИЗИКИ И МЕХАНИКИ ГОРНЫХ ПОРОД

---

На правах рукописи

Б.Е.СКОВОЧИН

ИССЛЕДОВАНИЕ РАБОЧЕГО ПРОЦЕССА ГИДРОУДАРНЫХ  
МАШИН ДВОЙНОГО ДЕЙСТВИЯ

Автореферат  
диссертации на соискание учёной степени  
кандидата технических наук

г. Фрунзе  
1967

АКАДЕМИЯ НАУК КИРГИЗСКОЙ ССР  
ИНСТИТУТ ФИЗИКИ И МЕХАНИКИ ГОРНЫХ ВОРОД.

---

На правах рукописи

Б.Е.СКОБОЧКИН

ИССЛЕДОВАНИЕ РАБОЧЕГО ПРОЦЕССА ГИДРОУДАРНЫХ  
МАШИН ДВОЙНОГО ДЕЙСТВИЯ

Автореферат  
диссертации на соискание учёной степени  
кандидата технических наук

Научные руководители:  
член-корреспондент АН КазССР,  
доктор технических наук,  
профессор А.В.БРИЧКИН  
кандидат технических наук,  
доцент П.М.КОШУЛЬКО

г.Фрунзе  
1967

*6*  
A 29  
Работа выполнена в Казахском институте  
минерального сырья

Генеральному Учёному Совету  
Отделение естественных и технических  
наук Академии Наук Киргизской ССР  
товарищ Афанасьев В. А.

уважаемый тов. ....

Объединённый Учёный Совет отделения естественных и  
технических наук Академии Наук Киргизской ССР направляет Вам  
для ознакомления автореферат диссертационной работы Б.Е.Ско-  
бочкина на тему: "Исследование рабочего процесса гидроудар-  
ных машин двойного действия", представленной на соискание  
учёной степени кандидата технических наук.

Просим принять участие в работе Совета или прислать  
Ваш отзыв, заверенный печатью, по адресу:

г.Фрунзе, ул.ХП партъезда, 267.

Предварительно защита намечается на *6 октября*  
1967 года. О дне защиты будет сообщено в газете "Советская  
Киргизия".

Учёный секретарь  
Объединённого Учёного Совета  
кандидат химических наук

В.А.Афанасьев

*328967*

Центральная научная  
БИБЛИОТЕКА  
Академии наук Киргизской ССР

Бурение скважин является одним из наиболее трудоёмких тех-  
нологических процессов при разведке и добыче полезных ископае-  
мых.

Поэтому на разработку прогрессивных средств бурения креп-  
ких пород направлены основные усилия конструкторов и исследова-  
телей. Успехи в этой области в последние годы неоспоримы. В гор-  
ной промышленности нашли применение пневмоударные агрегаты, стан-  
ки шарошечного и огневого бурения, в разведочной практике - ал-  
мазный и шарошечный инструмент, а также погружные гидроударные  
машины ударно-вращательного действия. Высокая эффективность гид-  
роударного бурения доказана практикой. Производительность его на  
станко-месяц по сравнению с дробовым бурением выше в 1,5-2 раза,  
а стоимость метра скважины на 25-30% ниже. Одновременно обнару-  
жилось и несовершенство применяемых технических средств гидро-  
ударного бурения, сдерживающее в ряде случаев применение этого  
способа.

Успехи и трудности первого опыта внедрения стимулировали  
исследования широкого круга вопросов гидроударного бурения в  
ИГД им.А.А.Скочинского, СКБ МГ СССР, ДГИ, ВНИИБТ, МИНХ и ГП, СГИ,  
КазИМСе и других организациях.

Важным резервом повышения эффективности и расширения об-  
ласти применения гидроударного бурения является совершенствова-  
ние гидроударных машин.

Задачей данной работы является изыскание путей улучшения  
характеристик машин двойного действия, включающее следующие воп-  
росы:

- 1) анализ известных схем, оценка их перспективности и выбор ис-  
ходной схемы для исследования;
- 2) обоснование и разработка методики исследования стендовых и  
забойных характеристик гидроударных машин;
- 3) разработка экспериментального образца гидравлического двига-  
теля на базе выбранной схемы, предусматривающая удобство из-  
менения конструктивных параметров и установки датчиков;
- 4) стендовые исследования и предварительный выбор параметров ма-  
шины;
- 5) снятие забойных характеристик машины и корректировка её кон-  
структивных параметров;
- 6) производственные испытания машин и определение эффективности  
их применения.

Диссертационная работа состоит из введения, шести глав, заключения, списка использованной литературы и приложений.

Первая глава содержит анализ состояния и направлений развития современных механических методов бурения. Опыт горной промышленности свидетельствует о наибольшей перспективности ударно-вращательного бурения. В то же время бурение разведочных скважин производится почти исключительно вращательным способом, возможности которого в основном уже реализованы. Последнее обусловлено ограниченностью подводимой к забою мощности, особенно при легком геологоразведочном оборудовании, а также механизмом действия рабочего органа на породу. Как известно, наименьшая энергоёмкость разрушения породы обеспечивается при динамическом её нагружении. Отсюда несомненна целесообразность передачи дополнительной мощности на забой в виде ударных нагрузок.

Применение для этой цели выносных ударных узлов исключено в связи с большими потерями энергии ударного импульса при передаче его по колонне труб. До последнего времени ударно-вращательное бурение глубоких скважин не находило применения из-за отсутствия ударных машин, эффективно работающих в скважине на глубинах в несколько сотен, а иногда и тысяч метров. Этот вопрос остается актуальным и сейчас, хотя ряд работоспособных машин в последние годы создан.

Обязательным качеством глубинной машины является её способность работать погруженной в жидкость под значительным гидростатическим давлением, поскольку большинство разведочных скважин заполнено жидкостью в силу геологических и технологических причин.

По роду привода указанные машины могут быть механическими (приводимыми в действие вращающимися бурильными трубами), электрическими, пневматическими и гидравлическими.

Основной недостаток механических устройств состоит в ограниченной мощности, передаваемой вращением бурильных труб.

Электрические машины имеют крупные достоинства (высокий к.п.д. электродвигателя, наименьшие потери энергии), но требуют значительной доработки и решения вопроса безопасности при маневрировании.

Пневматические машины, применяемые в горной промышленности, компактны и прости, надежны и сравнительно долговечны. Низкий к.п.д. машин и высокая стоимость пневматической энергии не являются препятствием для их применения.

В нефтяной промышленности США имеется успешный опыт бурения скважин пневмоударниками. Однако, область применения пневмоударных машин для проходки глубоких скважин, видимо, останется довольно узкой, поскольку они могут работать лишь в условиях, когда внешнее гидростатическое давление меньше давления сжатого воздуха в машине. Применение пеногенераторов для борьбы с водопроявлением не всегда дает желаемый результат.

Поэтому технологическим особенностям бурения глубоких скважин наиболее соответствуют в настоящее время погружные гидроударные машины. Промышленное их применение в нашей стране ведется с 1962 г., причем из общего объема гидроударного бурения по Союзу более половины приходится на Казахстан. С начала применения по настоящее время здесь пробурено этим способом около 200 тыс.м скважин, в том числе в 1966 г. - 60 тыс.м.

Во второй главе приведен обзор существующих конструкций гидроударных машин и выбрана исходная схема для исследований.

Первые гидроударные машины появились в 1900-1902 гг. В настоящее время известны уже сотни таких устройств. Ввиду чрезвычайного их многообразия, в главе приведены только наиболее характерные, эталонные образцы, вызвавшие появление семейств машин определенного класса или нашедшие практическое применение.

По существующей классификации гидроударные машины делятся на три класса:

1) прямого действия, в которых повышение давления при перекрытии потока рабочей жидкости используется для движения молотка вниз и нанесения удара по наковальне; одновременно происходит сжатие возвратной пружины;

2) обратного действия, в которых повышение давления рабочей жидкости при перекрытии потока используется для подъема молотка и сжатия ударной пружины;

3) двойного действия, когда энергия потока жидкости непосредственно используется для перемещения молотка в обоих направлениях.

Машины прямого действия по способу распределения жидкости делятся, в основном, на две группы: а) машины с вращающимися золотниками и б) машины с поступательно движущимися клапанами. Имеются и другие способы распределения жидкости, однако указанные группы представлены наиболее широко.

Машины с вращающимися золотниками известны с 1902 г., но практического применения не нашли, так как золотники плохо работают на загрязненных жидкостях и совершенно непригодны для работы на глинистых растворах.

Машина прямого действия с поступательно движущимся клапаном появилась в 1900 г. (В.Вольский).

В настоящее время наиболее отработанными конструкциями машин прямого действия являются машины Г-ЗА (Г-5А) конструкции СКБ МГ СССР и ГМ-5-ДГИ, первая из которых выпускается серийно.

Машины обратного действия появились в 50-е годы. Практическое применение в нашей стране нашли машины типа ВВО конструкции ВНИИБТ и ГБМС-5 Института горного дела им. А.А. Скочинского.

Обязательным элементом машин прямого и обратного действия является пружина бойка, обеспечивающая перемещение его в одном направлении. Наличие пружины в общем является недостатком, поскольку срок её службы в тяжёлых условиях работы гидроударника ограничен несколькими десятками часов.

Отличительной особенностью машин прямого и обратного действия является также то, что жидкость, прокачиваемая через машину, совершает работу в течение лишь небольшой части времени цикла, когда затвор закрыт. В остальное время жидкость свободно проходит через машину.

Машины двойного действия имеют лишь вспомогательные клапанные пружины или выполняются полностью беспружинными. Так как прокачиваемая через машину жидкость совершает работу в течение значительной части времени цикла, такие машины, при равных с гидроударниками прямого и обратного действия выходных характеристиках, создают обычно более высокий перепад давления, но экономичнее по расходу. Поэтому они позволяют уменьшить потери в подводящем трубопроводе и повысить к.п.д. гидросистемы в целом. Исключение пружин дает возможность снизить габариты и вес машины, а также увеличить предударную скорость бойка. В силу всего сказанного машины двойного действия являются наиболее прогрессивными.

В нашей стране разработан ряд интересных схем машин двойного действия. Наиболее простой является схема клапанного вибробура КУВ-22. Основой машины является ступенчатый (дифференциальный) поршень-боек, торцевые поверхности которого размещаются в различных камерах. Разность давления в камерах при подаче жидкости в машину создается гидравлическим сопротивлением (дросселем) в выхлопном канале наковальни. Концы поршневого беспружинного клапана, расположенного над бойком, также выведены в камеры с различным давлением. Поэтому клапан и боек стремятся последовательно занять верхнее положение, что сопровождается перекрытием потока жидкости. Гидравлический удар заставляет боек с клапаном двигаться вниз. Последний, достигнув ограничителя, отрывается от бойка и возвращается в исходное положение. Более массивный боек начинает подъём после удара по наковальне.

Поскольку простота и надежность машины являются важнейшими эксплуатационными требованиями, эта схема взята нами за основу для исследований и разработки.

Крупным её недостатком является наличие в выходном канале дросселя, препятствующего разгону бойка до высокой предударной скорости. Поэтому для улучшения характеристики машины необходимо было оценить её потенциальные возможности и установить пути улучшения рабочего процесса.

Третья глава посвящена исследованиям дроссельной машины двойного действия в лабораторных условиях.

Для выполнения поставленных задач применен экспериментальный метод исследований с электрическим измерением параметров рабочего процесса. Поскольку условия работы гидроударника на стенде и в скважине неодинаковы, а моделирование в лаборатории реальных условий эксплуатации машины представляет серьёзные трудности, исследования рабочего процесса машины проводились как при работе её на лабораторном стенде, так и в скважинах различной глубины в ряде производственных организаций. Такая методика применена впервые. До настоящего времени выбор параметров машин производился на основании стендовых экспериментов. Для исследований в лаборатории и на производстве использованы разработанные в КазИМСе комплексы аппаратуры, позволяющие непосредственно

средствами измерять скорость и перемещение бойка и клапана, давление в рабочих камерах гидроударной машины и некоторые другие параметры. Записи производились с помощью шлейфового осциллографа Н-102, а в отдельных случаях - фотографированием с экрана катодного осциллографа 90-7.

Примененная методика является достаточно простым и точным способом определения рабочих параметров гидроударников различного типа. Она может быть использована научно-исследовательскими и проектно-конструкторскими организациями.

Для исследований на стенде разработан экспериментальный образец дроссельной машины, удовлетворяющий требованиям, изложенным выше.

Вначале при экспериментах применялись различные сочетания величин площадей поршней и дросселей. Вес бойка и ход клапана оставались постоянными.

Проверочные расчеты, выполненные по известной методике без учета инерционности жидкости в канале бойка, дали расхождения с экспериментальными данными.

Прежде всего, предударные скорости бойка при экспериментах были, по большей части, выше расчетных и имели иной характер изменения. Расчетные скорости бойка возрастали с увеличением диаметра дросселя, а экспериментальные оставались на одном уровне. Увеличение расхода жидкости сопровождалось незначительным ростом скорости бойка.

При увеличении хода клапана до определенной величины, зависящей от конструктивных параметров машины и режима ее работы, систематически отмечалась отсечка клапана раньше момента остановки его ограничителем, после чего дальнейшее движение бойка происходило с торможением. Осциллограммы показали, что давление в камере под бойком при закрытом клапане не растет с увеличением скорости бойка и только с момента отсечки клапана уравнивается с давлением в камере над бойком (рис. I).

Причиной этого, как было установлено, является кавитационный разрыв жидкости под клапаном при его закрытии. Такое явление может иметь место в гидроударных машинах любого типа. В то же время избежать кавитации в дроссельной машине, как показали расчеты, можно лишь при условии, что диаметр канала в бойке будет

$$d_k \geq 2 \sqrt{\frac{q \cdot c}{h_{dp} \cdot g \cdot J_1}},$$

где  $q$  - расход жидкости,  $c$  - скорость распространения упругих волн в жидкости, находящейся в канале бойка,  $h_{dp}$  - перепад давления в дросселе,  $g$  - ускорение силы тяжести.

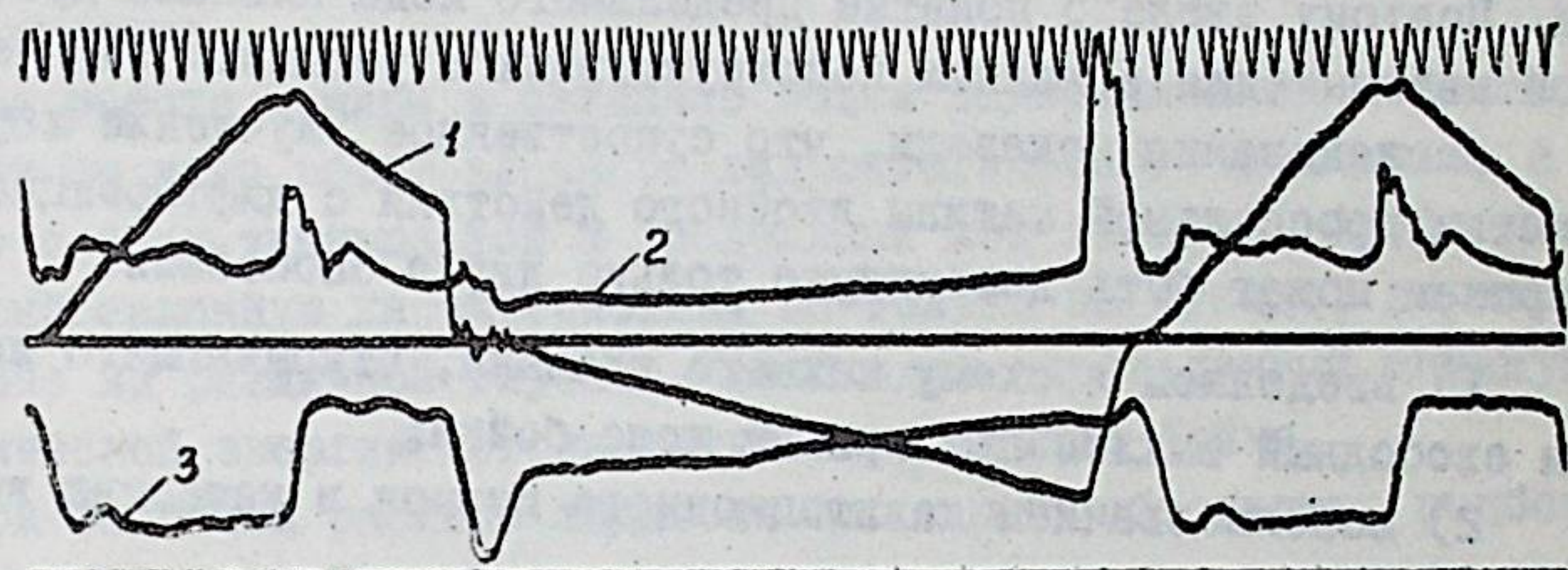


Рис. I. Характер цикла дроссельной машины с ранней отсечкой клапана

1 - скорость бойка, 2 - давление над бойком,  
3 - давление под бойком

Как видно, практически это довольно сложно.

Ранняя отсечка клапана происходила в случаях, когда объем кавитационного пузыря был меньше объема жидкости, вытесняемой из нижнего цилиндра за один рабочий ход бойка (объема выхлопа). При таком режиме работы путь и скорость бойка к моменту отсечки определяются только расходом жидкости. При достаточном же объеме кавитационного пузыря свободный выхлоп в него обеспечивает беспрепятственный разгон бойка до скорости, превышающей расчетную. Таким образом, кавитация может влиять на рабочий процесс дроссельной машины не только отрицательно, но и положительно.

В связи с отмеченным явлением ранней отсечки клапана, появилась необходимость установить условия устойчивости системы клапан-боек после заполнения кавитационного пузыря.

Критическая скорость бойка к моменту заполнения кавитационного пузыря, превышение которой приводит к распадению системы клапан-боек, определяется путем совместного решения уравнений их движения. Условиями момента распадения являются равенст-

во ускорений движения клапана и бойка и отсутствие сил взаимодействия между ними.

Расчеты, подтвержденные экспериментами, показали, что для реальных режимных и конструктивных параметров дроссельной машины, устойчивость системы клапан-боек практически надежно обеспечивается только при наличии под клапаном кавитационной полости. Поэтому введено понятие предельного хода клапана дроссельной машины (для заданных конструктивных и режимных параметров).

Исследования показали, что существенное улучшение характеристик дроссельной машины двойного действия с дифференциальным поршнем может быть достигнуто только двумя способами:

1) введением в схему нижнего клапана, открывающего жидкости свободный выхлоп при прямом ходе бойка;

2) использованием кавитационного пузыря в качестве выхлопной камеры.

Первый способ связан с необходимостью введения в схему дополнительного клапана. Второй позволяет получить желаемый результат на основе наиболее простой исходной схемы. Поэтому следующей задачей было исследование связи показателей рабочего процесса дроссельной машины с ее конструктивными параметрами и возможности получения кавитационного пузыря необходимого объема. Установлено, что при постоянном расходе жидкости объем кавитационного пузыря зависит, главным образом, от сечения и длины канала в бойке, площади нижнего поршня и жесткости амортизатора. С увеличением расхода жидкости соответственно возрастает и объем кавитационного пузыря. Мощность и к.п.д. машины определяются в основном режимом ее работы и в меньшей степени — конструктивными параметрами. Отмечено, что наилучшая характеристика машины получается при условии, когда отношение площадей верхнего и нижнего поршней составляет 1:2. С увеличением хода клапана к.п.д. машины растет, а при увеличении расхода жидкости — несколько снижается.

На основании результатов экспериментов был спроектирован и изготовлен опытный образец дроссельной машины двойного действия, работа которой основана на использовании кавитационного пузыря как выхлопной камеры при рабочем ходе бойка. Стендовая

характеристика машины при расходе жидкости 200 л/мин была следующей: перепад в машине — 20 ат, энергия удара — 6 кгм, частота — 1200 уд/мин.

Возможность кавитационных явлений в машине отмечалась исследователями и ранее. Однако ее влияние на рабочий процесс детально не изучалось и для его улучшения не использовалось. Обычно кавитацию стремились лишь исключить, как явление безусловно вредное.

При работе машины в скважине объем кавитационной полости убывает по мере роста внешнего гидростатического давления, а вместе с этим уменьшается и предельный ход клапана. Чтобы машина имела заданную характеристику не только на стенде, но и в скважине на различной глубине, необходим определенный минимум кинетической энергии потока жидкости в начале бойка.

При заданном расходе жидкости это можно обеспечить подбором размеров канала. Задачи отработки конструктивных и регулировочных параметров машины решались путем исследований ее работы на забое скважины.

В четвертой главе описаны исследования работы дроссельной машины в скважинах. Осциллографирование рабочего процесса производилось на глубинах от 150 до 500 м. Вначале в скважине глубиной 150 м производилось осциллографирование скорости бойка дроссельной машины. Далее эксперименты были продолжены с одновременной записью трех параметров — скорости бойка и давления в обоих рабочих камерах машины. Глубина скважины составляла 505 м (Джезказганская ГРЭ).

Анализ осциллограмм показал, что, хотя с ростом глубины скважины уменьшается объем кавитационного пузыря, а, следовательно, и разгонный участок хода бойка, но одновременно увеличивается ускорение его движения. На глубине 500 м ускорение прямого хода бойка в 1,7-1,8 раз больше, чем на стенде при равных расходах жидкости. Причиной этого является нарушение гидростатического равновесия в скважине в результате кавитационного разрыва под клапаном машины. Разделенные кавитационным пузырем столбы жидкости в штангах и затрубном пространстве оказывают взаимно противоположное влияние на рабочий процесс. Вес столба жидкости в затрубном пространстве препятствует росту кавитации

онного пузыря. С другой стороны, к силе гидравлического удара над бойком добавляется вес столба жидкости в штангах и ускорение бойка увеличивается. Поэтому для получения заданной энергии удара в скважине требуется более короткий ход бойка, чем на стенде. Соответствующий объем кавитационного пузыря получен путем выбора длины и сечения канала бойка. Контрольные эксперименты после корректировки параметров выполнялись на скважинах глубиной 450–480 м в Лениногорской ГРЭ и Чатыркульской ГРП. На рис.2 приведена осциллограмма рабочего процесса дроссельной машины с отработанными параметрами (получившей марку Р-ЗМ) и оптимальной регулировкой в скважине на глубине 470 м. Рабочий процесс машины стабилен при любом возможном увеличении расхода жидкости. Забойная характеристика ее приведена на рис.3. Эксплуатация машин Р-ЗМ в Восточно-Казахстанском геологическом управлении (глубина скважин достигала 600 м) показала, что она во всех интервалах глубин производительнее серийной машины Г-ЗА.

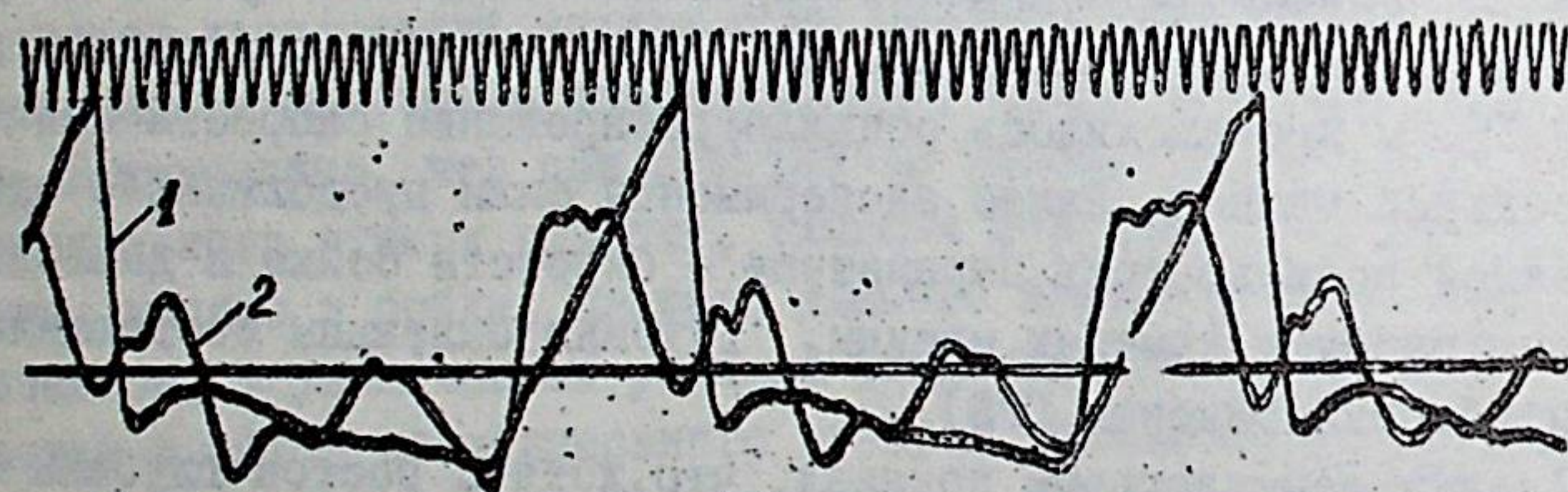


Рис.2. Характер цикла машины Р-ЗМ в скважине глубиной 470 м при оптимальной регулировке.  
1 - скорость бойка, 2 - давление над бойком.

Недостатком дроссельной машины, работы которой построена на использовании кавитации, является ухудшение характеристики с определенной глубиной. Поэтому для бурения скважин большой глубины (до 1200–1500 м) желательна машина, отличающаяся независимостью рабочего процесса от глубины бурения.

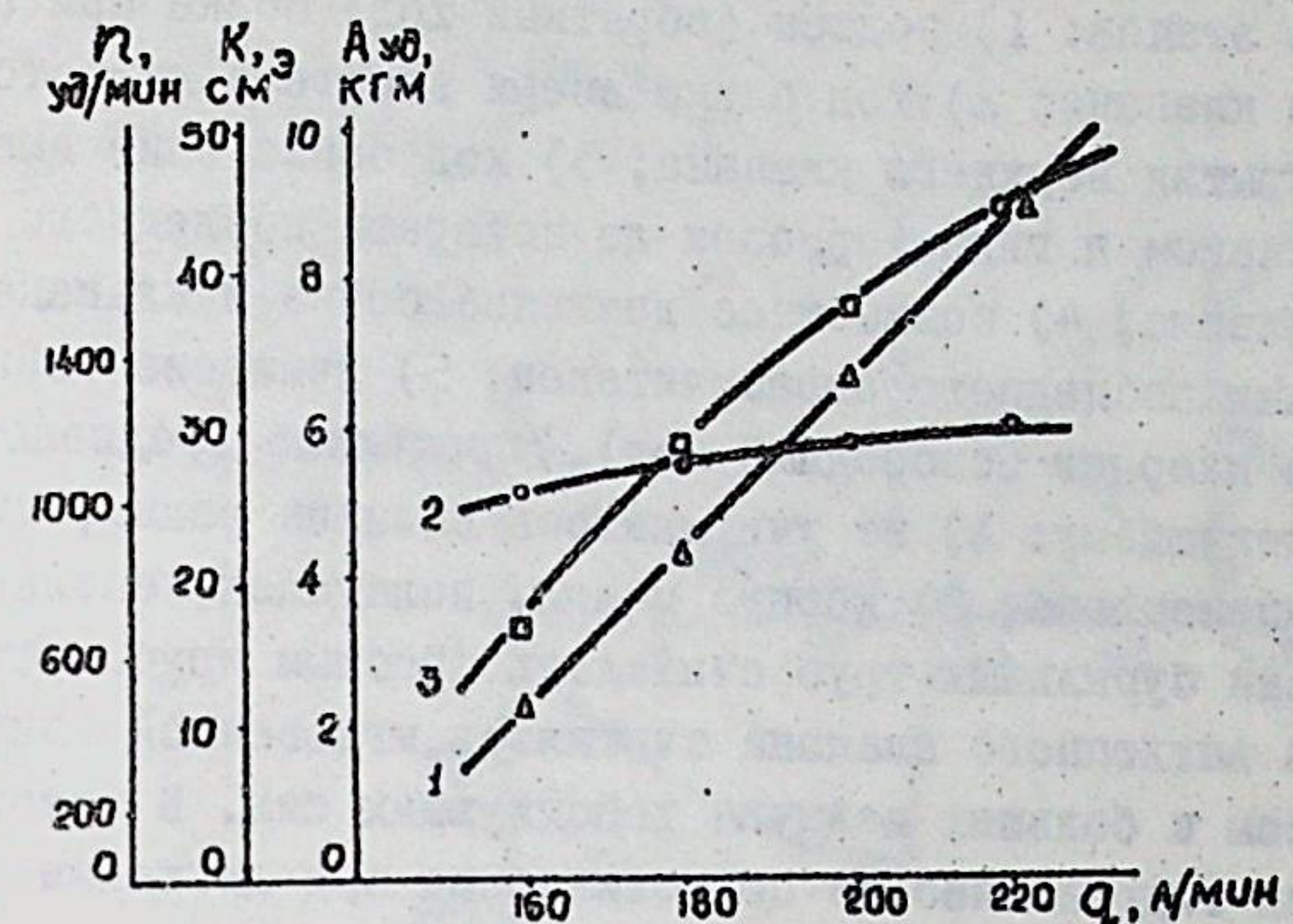


Рис.3. Забойная характеристика машины Р-ЗМ.  
1 - энергия удара; 2 - частота ударов; 3 - объём кавитационной полости.

Для этой цели в КазИМСе под руководством и при участии автора разработана глубинная двухклапанная машина двойного действия Р-ЗМГ. Принципы ее устройства были сформулированы на основе результатов исследований рабочего процесса дроссельной машины.

Различие между машинами Р-ЗМ и Р-ЗМГ состоит в том, что в бойке последней размещен плоский тарельчатый клапан, подпружиненный снизу. Во время прямого хода бойка он обеспечивает свободный выхлоп жидкости из нижнего цилиндра, открывая выхлопные окна в бойке и одновременно защищает верхний клапан от удара потока жидкости, выходящего на выхлоп. При подъеме бойка клапан закрывает выхлопные окна, обеспечивая подачу жидкости в полость нижнего цилиндра.

Пятая глава работы посвящена исследованию и выбору параметров глубинной машины Р-ЗМГ, описанной выше. От других машин двойного действия она отличается характером движения ударной

массы и клапанных устройств. Особенности машины учтены в разработанной методике расчёта показателей цикла. Последний делится на пять этапов: 1) подъём (обратный ход) бойка при открытом верхнем клапане; 2) ход бойка вверх вместе с гидротормозом после закрытия верхнего клапана; 3) ход бойка вниз вместе с верхним клапаном и гидротормозом до возврата последнего в исходное положение; 4) совместное движение бойка и клапана вниз до отсечки последнего ограничителем; 5) движение бойка к наковальне по инерции (свободный ход). Упрощающие предположения сводятся к следующему: 1) не учитывалось влияние волн, отраженной от компенсатора; 2) корпус машины полагался неподвижным; 3) колонна бурильных труб считалась простым трубопроводом; 4) переброска выхлопного клапана считалась мгновенной ввиду малости его массы и больших величин действующих сил. В методике расчёта учтены гидравлические сопротивления при движении бойка.

В главе приведен расчёт машины Р-ЗМГ с заданными параметрами.

Для проверки расчётных данных и отработки машины проведены исследования её рабочего процесса на лабораторном стенде и на забое скважин глубиной 150, 280, 470 и 480 м с осциллографированием основных параметров. В ходе лабораторных исследований были отработаны узлы выхлопного клапана и гидротормозного устройства. Установлено, что применение гидротормоза положительно повлияло на характеристику машины, что подтверждает данные расчёта.

Скважинные эксперименты проводились на опытной вышке КазИМСа (г.Алма-Ата), в тематической партии техники разведки Восточно-Казахстанского ГУ (г.Усть-Каменогорск), Лениногорской геологоразведочной экспедиции (г.Лениногорск) и Чатыркульской геологоразведочной партии Южно-Казахстанского ГУ. Полученные при этом показатели цикла близки к расчётным. Характер изменения скорости бойка и давления в рабочих камерах машины в течение цикла также близок к расчётному (рис.4). Сопоставление данных испытаний машины на стенде и в скважине дало их полное количественное и качественное совпадение. Этот факт, а также сходимость экспериментальных данных с расчётными показывает, что глубина скважины не влияет на характер и показатели рабочего цикла машины Р-ЗМГ, зависящие только от расхода жидкости,

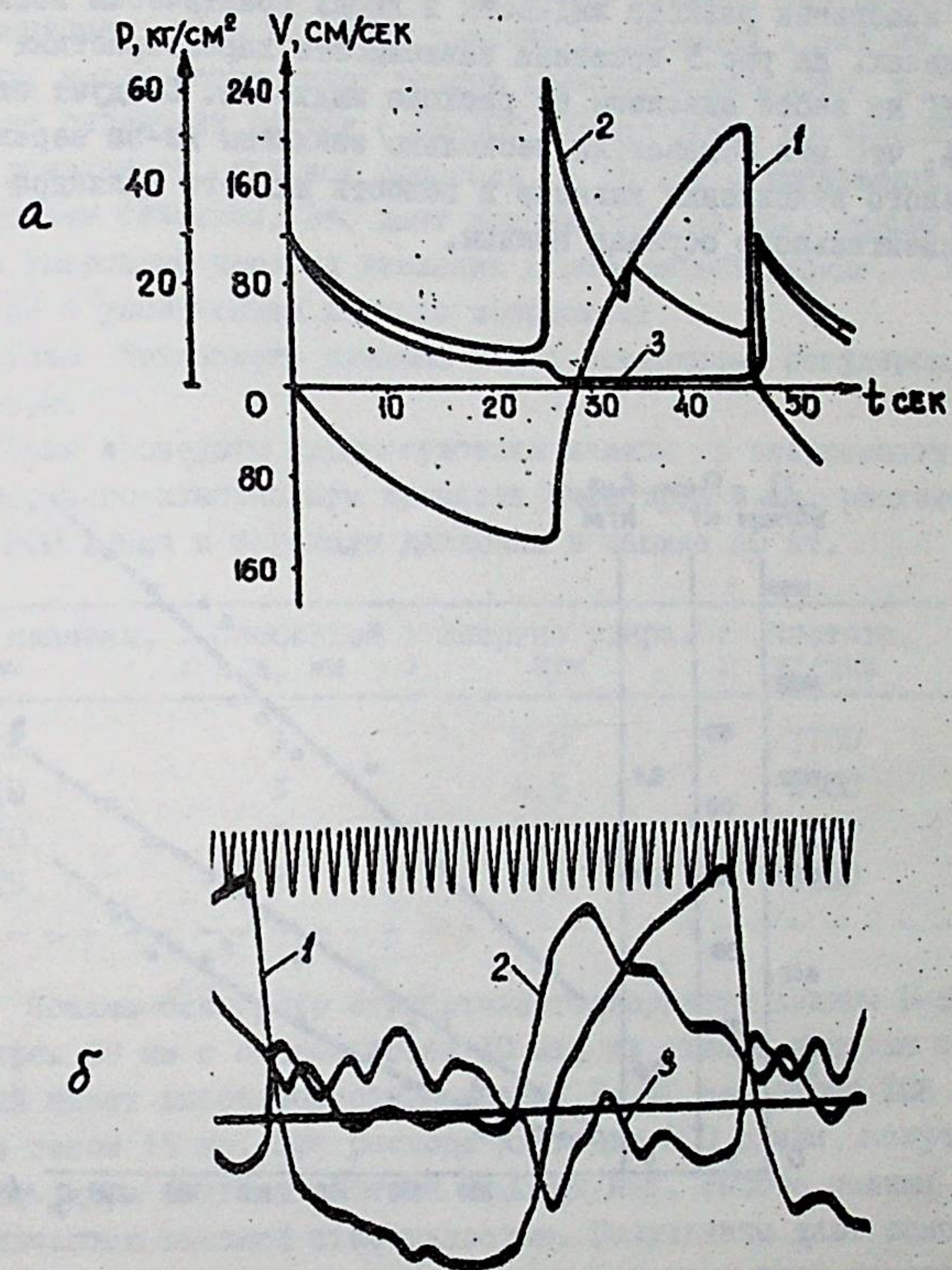


Рис.4. Расчётный (а) и экспериментальный (б) циклы машины Р-ЗМГ.  
1 - скорость бойка; 2 - давление в верхнем цилиндре;  
3 - давление в нижнем цилиндре.

и регулировки.

Отмечено, что машина устойчиво работает в ударном режиме при изменении расхода жидкости в любых практически возможных пределах. На рис.5 показана зависимость характеристики машины Р-ЗМГ на забое скважины от расхода жидкости. Следует отметить, что эти показатели несколько занижены из-за нерационального выполнения каналов в долото нижнего цилиндра у экспериментального образца машины.

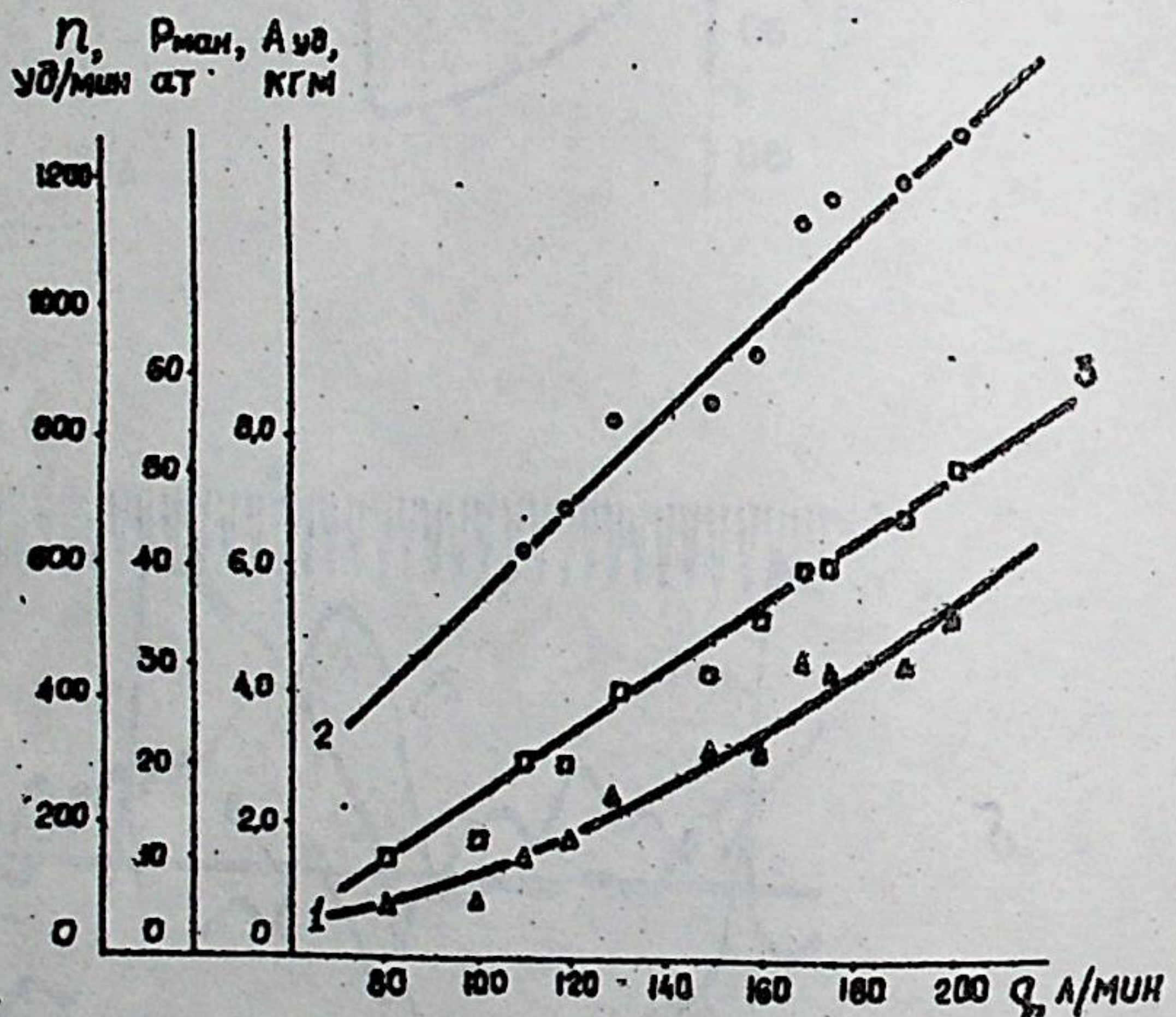


Рис.5. Забойная характеристика машины Р-ЗМГ  
1 - энергия удара, 2 - частота ударов,  
3 - давление на манометре.

В зависимости от условий бурения можно менять основные характеристики машины (энергию и частоту ударов). При ограниченной производительности насоса (200-220 л/мин), это достигается изменением хода верхнего клапана в пределах 15-25 мм. В тех случаях, когда насос имеет резерв производительности, регулировка на различный расход (150-300 л/мин) может производиться, кроме указанного, заменой дросселя на другой с уменьшенным или увеличенным сечением. Это дает возможность на всех режимах сохранить умеренный перепад давления в работающей машине, а мощность её с увеличением расхода возрастает.

Узел выхлопного клапана имеет постоянные регулировочные параметры.

Ниже приведены характеристики машины в зависимости от хода верхнего клапана при дросселе диаметром 8 мм, расходе жидкости 200 л/мин и перепаде давления в машине 20 ат.

Ход клапана, мм	Свободный ход, мм	Энергия удара, кгм	Частота, уд/мин
16	3	5,0	1700
18	3	6,5	1500
20	3	7,5	1300
25	3	9,0	1100

Помимо основного отработанного варианта машины Р-ЗМГ диаметром 89 мм с бойком весом 30 кг, на стенде испытан также опытный макет высокочастотной машины Р-ЗМГ диаметром 108 мм с бойком весом 15 кг. При расходе жидкости 200 л/мин получена энергия удара 6 кгм и частота 2400 уд/мин. Работа машины также отличается высокой стабильностью. Результаты дают основание считать, что на базе схемы Р-ЗМГ может быть создан малогабаритный высокочастотный гидроударник.

Скважины, в которых исследовалась работа машин Р-ЗИ и Р-ЗМГ, имели угол наклона у забоя от 56 до 90°. Анализ осцилограмм показал, что изменение угла наклона скважины в указанных пределах не оказывает сколько-нибудь заметного влияния на характер и показатели рабочего процесса машин.

Шестая глава содержит технико-экономические показатели бурения машинами Р-ЗМ и Р-ЗМГ. Эффективность разработанных машин проверялась в ходе производственных испытаний, преследовавших и цель конструктивной их доработки.

Испытания проводились начиная с 1962 г. в различных геологоразведочных партиях и экспедициях (Текелийской, Белоусовской, Лениногорской, Джезказганской, Березовской и Чатыркульской) Министерства геологии КазССР.

С 1964 г. началось промышленное применение машин Р-ЗМ в Лениногорской ГРЭ, а с 1966 г. - машин Р-ЗМГ в Березовской ГРЭ и Белоусовской ГРЭ. С начала испытания по июнь 1966 г. машинами обоих типов пробурено более 10000 м скважин. В настоящее время бурение этими машинами продолжается.

Данные хронометражных наблюдений в сравнении с другими машинами приведены в табл. I.

Помимо высоких эксплуатационных показателей, машины Р-ЗМ и Р-ЗМГ обладают рядом других преимуществ. Они просты по конструкции и технологичны в изготовлении, легче, дешевле других применяемых машин.

Расчет экономической эффективности применения гидроударных машин Р-ЗМ и Р-ЗМГ составлен на основании данных Лениногорской ГРЭ в соответствии с "Методикой определения экономической эффективности новой геологоразведочной техники" (приказ 167 по Государственному геологическому комитету СССР от 17 июня 1963 г.), разработанной ВИТРОм и быв. ЦКБ.

Данные расчета, согласующиеся с практическими результатами, полученными в Лениногорской экспедиции, показывают, что экономия на 1 пог.м скважины при бурении машинами Р-ЗМ и Р-ЗМГ составляет 9 руб. по сравнению с дробовым способом и 2,9 руб. по сравнению с машиной Г-ЗА.

Таблица I

Показатели гидроударного бурения в Лениногорской и Джезказганской геологоразведочных экспедициях

Интервал: бурения,	Марка гидро- ударника	Показатели по приведенным категориям		
		средняя, механи- ческая скорость бурения, м/час	средняя про- ходка на бурения, м/рейс, м	средне-рейсо- вая скорость бурения, м/час
0-400	ГМД-2 <sup>1</sup>	1,02	2,64	0,592
	Р-ЗМ <sup>1</sup>	1,55	3,28	0,862
	ГМД-2 <sup>2</sup>	4,30	4,76	1,96
	Г-ЗА <sup>2</sup>	2,98	4,05	1,43
	Р-ЗМГ <sup>2</sup>	4,20	4,54	1,89
0-500	ГМД-2 <sup>1</sup>	1,05	2,54	0,562
	Р-ЗМ <sup>1</sup>	1,36	2,98	0,705
	ГМД-2 <sup>2</sup>	3,85	4,61	1,60
	Г-ЗА <sup>2</sup>	2,62	3,76	1,18
	Р-ЗМГ <sup>2</sup>	3,94	4,42	1,62
0-600	ГМД-2 <sup>1</sup>	1,00	2,41	0,501
	Р-ЗМ <sup>1</sup>	1,22	2,44	0,541
	ГМД-2 <sup>2</sup>	3,53	4,38	1,36
	Р-ЗМГ <sup>2</sup>	3,77	4,54	1,45

Примечание: 1 - по данным испытаний гидроударников в Лениногорской ГРЭ.  
 2 - по данным испытаний машин ГМД-2, Р-ЗМГ и Г-ЗА в Джезказганской КГРЭ.  
 3 - данные по Лениногорску приведены к IX категории, а по Джезказгану - к УП.

Центральная научная  
БИБЛИОТЕКА  
Академии наук Киргизской ССР

328907

### З а к л ю ч е н и е

Результаты работы, выводы и рекомендации сводятся к следующему.

1. Изучение существующих гидроударных машин показало, что они еще не полностью отвечают технологическим требованиям бурения по конструктивным признакам и, особенно, по рациональности рабочего процесса. Поэтому одним из резервов повышения эффективности и расширения области применения гидроударного бурения является усовершенствование существующих и разработка новых машин.

2. Для изучения рабочего процесса гидроударных машин на стенде и на забое скважин разработана и применена методика исследования с использованием электрических измерений основных параметров, которая может быть использована научно-исследовательскими и проекто-конструктивными организациями.

3. Впервые выполнено в большом объеме осциллографирование рабочего процесса гидроударных машин на забое скважин различной глубины (от 150 до 500 м) и с разными углами наклона (от 56° до 90°).

4. Впервые изучено влияние кавитационного разрыва жидкости под клапаном на рабочий процесс гидроударных машин. Выявлена и реализована возможность его использования для значительного улучшения характеристик дроссельной машины двойного действия.

5. Исследования дроссельной машины двойного действия показали, что рабочий процесс гидроударников в скважине происходит в существенно иных условиях, чем на стенде. Поэтому стендовые характеристики гидроударников могут значительно отличаться от их характеристик в реальных условиях эксплуатации.

6. На основании выполненных исследований разработаны и внедрены в производство гидроударные машины двойного действия Р-ЗМ и Р-ЗМГ. Рабочий процесс и функции их конструктивных элементов существенно отличаются от таких у других известных машин:

а) в одноклапанной дроссельной машине Р-ЗМ для улучшения прямого хода использован выхлоп в кавитационный пузырь;

б) в двухклапанной машине Р-ЗМГ нижний клапан не только открывает выхлопные окна, но и защищает верхний клапан от раковой отсечки обратным потоком жидкости в канале бойка, выходящим на выхлоп.

7. В настоящее время на производстве работает более 30 машин Р-ЗМ и Р-ЗМГ, которыми пробурено свыше 10000 м скважин. На основании полученных результатов их применения машины Р-ЗМ и Р-ЗМГ рекомендуются для широкого внедрения в геологоразведочную практику.

Основное содержание диссертации опубликовано в следующих работах автора:

1. К вопросу о возможности и целесообразности ударно-вращательного бурения разведочных скважин. Труды КазИМСа, вып.2, 1960. Соавторы: О.П.Леонтьев, В.И.Таран.

2. Применение ударно-вращательного бурения - путь к повышению эффективности колонкового бурения разведочных скважин. Горнодобывающая промышленность Казахстана, № 3, 1960. Соавторы: О.П.Леонтьев, В.И.Таран.

3. Испытания гидроударников в Казахстане. Труды КазИМСа, вып.3, 1960. Соавтор В.И.Таран.

4. Новый беспружинный гидроударник двойного действия. Горнодобывающая промышленность Казахстана, № 5, 1961. Соавторы: М.И.Казанцев, О.П.Леонтьев, Л.Ю.Парц, Г.К.Рязанцев.

5. Новые беспружинные гидроударники двойного действия для бурения скважин. Сб. Опыт бурения гидроударниками в геологоразведочных организациях Казахстана. ЦИНТИ КазССР, 1963. Соавторы: А.С.Латыпов, О.П.Леонтьев, Г.К.Рязанцев.

6. Двухклапанный гидроударник двойного действия. Авторское свидетельство № 162474. Бюллетень изобретений № 10, 1964. Соавторы: М.И.Казанцев, А.С.Латыпов, О.П.Леонтьев, Л.Ю.Парц, Г.К.Рязанцев, В.И.Таран, Т.И.Чекаева.

7. Вопросы теории работы гидроударных машин двойного действия. Труды ИГД АН КазССР, т.17, 1965. Соавтор Т.И.Чекаева.

8. Гидроударник Р-ЗМ. ОНТИ КазИМСа, 1965. Соавторы:

О.П.Леонтьев и др.

9. Вопросы организации и технологии гидроударного бурения. ОНТИ КазИМСа, 1965. Соавторы: О.П.Леонтьев и др.

10. Бурение гидроударниками Р-ЗМ в Лениногорской ГРП.

Сб.Опыт бурения гидроударниками в Казахстане. ЦИНТИ КазССР, 1966. Соавторы: Г.К.Рязанцев, Т.И.Чекаева.

II. Исследование работы гидроударных машин двойного действия. Известия высших учебных заведений, геология и разведка, № 2, 1967. Соавторы: О.П.Леонтьев, Т.И.Чекаева.

12. Некоторые результаты исследований гидроударников двойного действия. Сб."Теория и практика ударно-вращательного бурения. Недра, 1967. Соавторы: Г.К.Рязанцев, Т.И.Чекаева, Н.И.Строков.

Скобочкин Борис Евгеньевич

Сдано в производство 12.У1.67. Подписано к печати 9.У1.67.  
Формат 60x84 Печ.л. 1,25 Тираж 200 УГ03832 Заказ 61  
Отпечатано на ротапринте ОНТИ КазИМСа, Алма-Ата, К.Маркса 105